# Elettromagnetismo

Prof. Francesco Ragusa Università degli Studi di Milano

Lezione n. 34 - 08.05.2023

Il campo H - Discontinuità di H
Ferromagnetismo

Equazioni di Maxwell nella materia

Onde elettromagnetiche

Anno Accademico 2022/2023

# Il campo H

- Il campo H ha nomi diversi in letteratura
  - Viene anche chiamato "campo magnetico"
  - Nel nostro corso abbiamo sempre chiamato campo magnetico il campo B
  - Chiameremo il nuovo campo "campo H"
- ullet Il campo H è analogo al campo D introdotto in elettrostatica
  - Lega il campo alle sorgenti esterne (correnti di conduzione) eliminando la dipendenza esplicita dalle sorgenti indotte (correnti di magnetizzazione)
  - ullet A differenza del campo D il campo H è molto utile ed è usato nelle applicazioni e nel lavoro sperimentale
    - La ragione sta nel fatto che la grandezza fisica che si controlla per generare un campo magnetico è la corrente

$$\mathbf{
abla} imes \mathbf{H} = \mathbf{J}_{\mathrm{C}} \qquad \longrightarrow \qquad \oint_{C} \mathbf{H} = i_{\mathrm{C}}$$

- Nel caso elettrostatico la grandezza fisica che si controlla sono i potenziali dei conduttori
  - Il campo D è invece legato alle densità di carica reali che non sono facilmente controllabili

$$\nabla \cdot \mathbf{D} = \rho_{\scriptscriptstyle f}$$

# Il campo H

- $\bullet$  Come nel caso del campo elettrostatico anche adesso bisogna sottolineare che il campo H non può sostituire B
  - Per determinare completamente un campo vettoriale è necessario definirne sia il rotore sia la divergenza
    - In generale la divergenza di H non è definita
      - Dipende dalla magnetizzazione
  - Pertanto le equazioni necessarie per risolvere il problema sono

$$\mathbf{\nabla} \times \mathbf{H} = \mathbf{J}_{\mathrm{C}} \qquad \mathbf{\nabla} \cdot \mathbf{B} = 0 \qquad \mathbf{B} = \mathbf{f} (\mathbf{H})$$

- Inoltre le opportune condizioni al contorno
- Se nel problema sono presenti più materiali occorre imporre le condizioni di raccordo dei campi alle superfici di passaggio da un materiale all'altro
- Ricaviamo le condizioni di discontinuità (raccordo) per il campo H
  - ullet Le condizioni per il campo  ${f B}$  sono state ricavate utilizzando le equazioni

$$\nabla \times \mathbf{B} = \mu_0 \mathbf{J}$$
  $\nabla \cdot \mathbf{B} = 0$ 

- ullet Il rotore di H è formalmente identico al rotore di B e porterà a condizioni sulla componente tangenziale di H analoghe a quelle di B
- Abbiamo bisogno della divergenza di H

# Il campo H

• Calcoliamo la divergenza di H

$$\mathbf{H} = \frac{\mathbf{B}}{\mu_0} - \mathbf{M} \qquad \longrightarrow \qquad \boldsymbol{\nabla} \cdot \mathbf{H} = \frac{\boldsymbol{\nabla} \cdot \mathbf{B}}{\mu_0} - \boldsymbol{\nabla} \cdot \mathbf{M}$$
 • Otteniamo 
$$\boldsymbol{\nabla} \cdot \mathbf{H} = -\boldsymbol{\nabla} \cdot \mathbf{M}$$

 $\mathbf{v}\cdot\mathbf{n}=-\mathbf{v}$ 

ullet La condizione sulla componente tangenziale di H si ottiene come nel caso di B

$$\nabla \times \mathbf{H} = \mathbf{J}_{\mathbf{C}} \qquad \qquad \oint_{C} \mathbf{H} \cdot d\mathbf{l} = \int_{S} \mathbf{J}_{\mathbf{C}} \cdot d\mathbf{a}$$

$$H_{1t} - H_{2t} = K_{\mathbf{C}}$$

- Per la componente normale calcoliamo il flusso di H attraverso la superficie di un cilindro di altezza trascurabile
  - Abbiamo

$$\nabla \cdot \mathbf{H} = -\nabla \cdot \mathbf{M} \longrightarrow \oint_{S} \mathbf{H} \cdot \hat{\mathbf{n}} da = -\oint_{S} \mathbf{M} \cdot \hat{\mathbf{n}} da$$

ullet Contribuiscono solo le superfici circolari A

$$\mathbf{H}_{ ext{sopra}}^{ot} - \mathbf{H}_{ ext{sotto}}^{ot} = -ig(\mathbf{M}_{ ext{sopra}}^{ot} - \mathbf{M}_{ ext{sotto}}^{ot}ig)$$

# Suscettività e permeabilità magnetica

- ullet Per risolvere problemi con materiali abbiamo bisogno di conoscere una relazione fra B e H (relazione costitutiva)
  - ullet Abbiamo visto la relazione che permette di trovare  ${f M}$  in funzione di  ${f B}$ 
    - Abbiamo preannunciato (diapositiva 332) che la relazione corretta è

$$\mathbf{M} = \chi_{_{\mathrm{m}}} rac{\mathbf{B}}{\mu_{_{0}}}$$
 no!  $\mathbf{M} = \chi_{_{\mathrm{m}}} \mathbf{H}$ 

• Ricordiamo la definizione di H

$$\mathbf{H} = rac{\mathbf{B}}{\mu_0} - \mathbf{M} \qquad \mathbf{B} = \mu_0 \mathbf{H} + \mu_0 \mathbf{M} = \mu_0 \mathbf{H} + \mu_0 \chi_{\mathrm{m}} \mathbf{H} = \mu_0 \left( 1 + \chi_{\mathrm{m}} \right) \mathbf{H}$$

- ullet Definiamo la permeabilità magnetica del materiale  $\mu=\mu_0(1+\chi_{
  m m})=\mu_0\mu_{
  m r}$
- Otteniamo

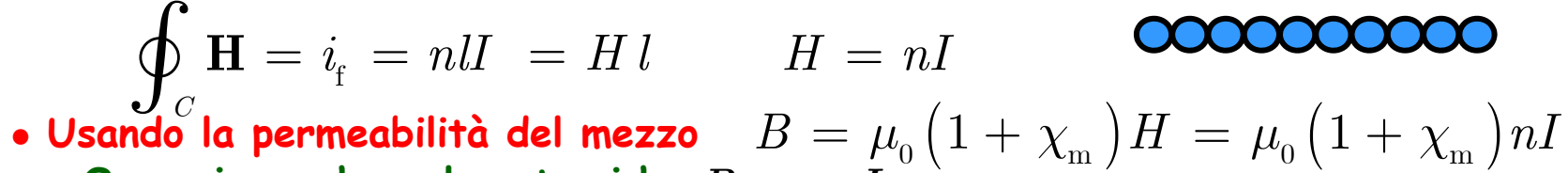
$$\mathbf{B} = \mu \mathbf{H}$$

- ullet Se  $\mu$  è indipendente dalla posizione il mezzo è omogeneo
- ullet Se  $\mu$  è indipendente da H il mezzo è lineare
  - ullet Se il mezzo è diamagnetico  $\mu/\mu_0 < 1, \qquad \chi_{
    m m} < 0$
  - ullet Se il mezzo è paramagnetico  $\mu/\mu_0>1, \qquad \chi_{
    m m}>0$
- ullet Per i materiali ferromagnetici la relazione è non lineare  $\mu=\mu(\mathrm{H})$

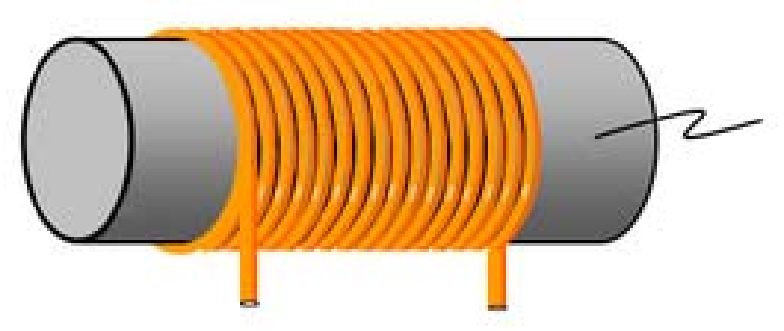
# Esempio: solenoide con nucleo

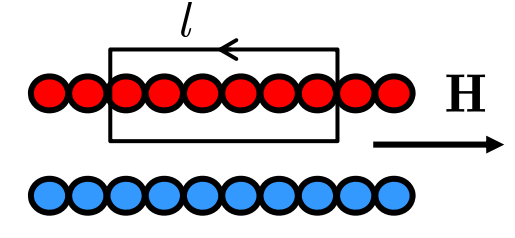
- Consideriamo un lungo solenoide avvolto su un materiale lineare con suscettività  $\chi_{
  m m}$ 
  - ullet Le spire per unità di lunghezza sono n
  - ullet La corrente è I
    - Per la simmetria del problema le linee del campo  ${\bf H}$  sono parallele all'asse del cilindro
      - Il campo è nullo all'esterno
    - Utilizzando la legge di Ampère con il cammino in figura (la corrente esce dal piano)

$$\oint \mathbf{H} = i_{\rm f} = nlI = H \, l \qquad H = nI$$



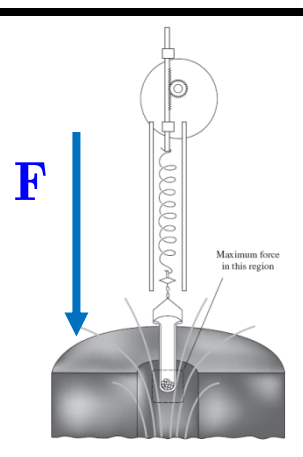
- ullet Osserviamo che nel vuoto si ha  $B=\mu_0 n I$
- L'effetto del mezzo è di generare un campo della stessa forma dovuto a una corrente  $\chi_{
  m m} n I l$
- ullet La magnetizzazione è  ${f M}=\chi_{_{
  m m}}{f H}$   ${f K}={f M} imes\hat{f n}$   $K=\chi_{_{
  m m}}nI$
- Pertanto la corrente di magnetizzazione genera il campo magnetico aggiuntivo
  - Se il materiale è paramagnetico il campo è più intenso
  - Se il materiale e diamagnetico il campo è meno intenso





- Abbiamo già dato le caratteristiche essenziali delle forze nei materiali ferromagnetici
  - Facendo riferimento alle misure con il solenoide
    - La forza è attrattiva e molto intensa
    - La forza dipende linearmente dalla corrente
      - La forza dipende solo dal gradiente del campo
  - La forza si calcola utilizzando la formula

$$\mathbf{F} = \mathbf{\nabla} (\mathbf{m} \cdot \mathbf{B})$$



- ullet Per i materiali diamagnetici e paramagnetici abbiamo visto che  ${
  m m}\sim{
  m B}$
- $\bullet$  La dipendenza lineare della forza dalla corrente (dal gradiente del campo) nel caso dei materiali ferromagnetici indica che m non varia più con B
  - Si è raggiunto un limite di saturazione nell'allineamento dei dipoli magnetici
- La forza è attrattiva e quindi i dipoli si allineano nella direzione del campo
- Infine osserviamo che i materiali ferromagnetici possono avere una magnetizzazione anche in assenza di campo
  - É importante notare che il fenomeno dipende dalla temperatura
    - ullet In particolare il ferromagnetismo scompare al di sopra di una certa temperatura caratteristica per ogni sostanza (Temperatura di Curie  $T_c$ )

# Il campo di un magnete permanente

- Consideriamo un magnete permanente: ad esempio un cilindro di materiale magnetizzato uniformemente
  - $\bullet$  Non ci sono correnti di magnetizzazione all'interno dato che  $J_M = \nabla{\times}M = 0$
  - Le correnti superficiali sono date da

$$\mathbf{K} = \mathbf{M} \times \hat{\mathbf{n}}$$



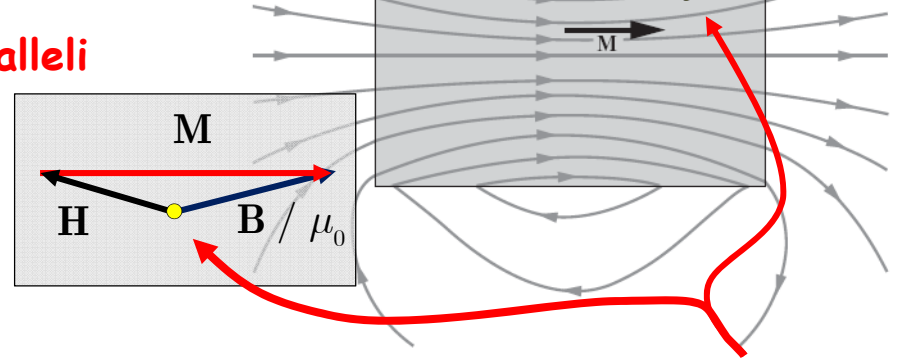
ullet C'è una corrente sulla superficie laterale: K=M

• Il campo magnetico generato dalla corrente superficiale è quello generato da un solenoide di lunghezza finita

$$\mathbf{A}\left(\mathbf{r}\right)=rac{\mu_{0}}{4\pi}\intrac{\mathbf{K}\left(\mathbf{r}'
ight)}{\left|\mathbf{r}-\mathbf{r}'
ight|}da'$$



- ullet Inoltre  $\, {f H} = {f B} \, / \, \mu_{\scriptscriptstyle 0} {f M} \,$
- Neppure H e M sono paralleli
- Evidentemente non è solo B a determinare la direzione dei dipoli



 $\hat{\mathbf{n}}$ 

- È interessante interpretare numericamente i dati della tabella, diapositiva 306
  - ullet 1  ${
    m Kg}$  di ferro subisce una forza di  $4000~{
    m N}$  con  $|\partial {
    m B}/\partial z|=17~{
    m T/m}$

$$\mathbf{F} = \mathbf{\nabla} (\mathbf{m} \cdot \mathbf{B}) \rightarrow |\mathbf{F}| = \mathbf{m} \left| \frac{\partial B}{\partial z} \right| \quad \mathbf{m} = \frac{4000}{17} = 235 \,\mathrm{J/Tesla} \quad \mathrm{NB: 1 \ Kg}$$

ullet La magnetizzazione  $|\mathbf{M}|$  corrispondente al momento magnetico  $\mathbf{m}$  è

$$\mathbf{m} = \left| \mathbf{M} \right| V \quad V = \frac{1 \,\text{Kg}}{\rho \left( \text{Kg/m}^3 \right)} \qquad \left| \mathbf{M} \right| = \frac{\mathbf{m}}{V} = \mathbf{m} \frac{\rho}{1 \,\text{Kg}} \quad \rho = 7800 \,\text{Kg m}^{-3}$$
$$\left| \mathbf{M} \right| = 235 \cdot 7800 \frac{\mathbf{J}}{\mathbf{T}} \frac{1}{\mathbf{m}^3} = 1.83 \times 10^6 \, \frac{\mathbf{J}}{\mathbf{T}} \frac{1}{\mathbf{m}^3}$$

- Questo è il massimo valore della magnetizzazione del ferro (saturazione)
- ullet Abbiamo anche detto che  $\mathrm{M}=n\mu_B$

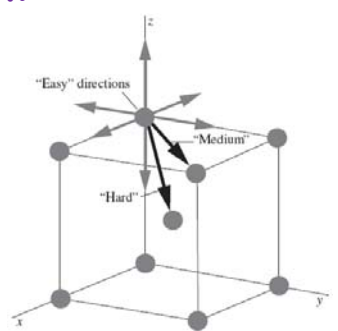
Noto 
$$\mu_{\mathrm{B}}$$
  $n=\dfrac{1.83\times10^6}{9.3\times10^{-24}}\approx2\times10^{29}$  elettroni per m³

ullet Dato che nel ferro ci sono circa  $1{ imes}10^{29}~{
m atomi/m^3}$  concludiamo che ogni atomo contribuisce con due elettroni

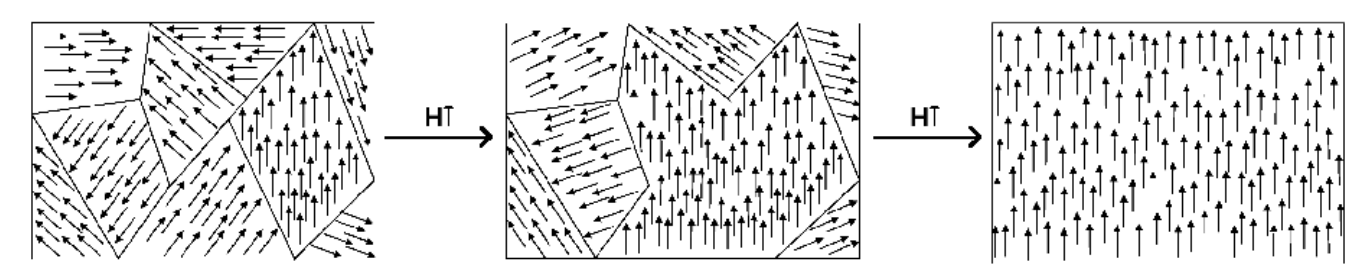
- Il fenomeno che stiamo descrivendo è molto complesso
  - Diamo adesso alcune spiegazioni qualitative
    - Per motivi connessi alla struttura quantistica dell'atomo di ferro due elettroni di atomi adiacenti si trovano in uno stato energeticamente conveniente quando i loro spin sono allineati



- Questa circostanza tende ad allineare gli spin di tanti atomi
- Si tratta di un fenomeno collettivo
- La direzione in cui si allineano è casuale
  - In realtà la simmetria del reticolo impone alcune direzioni
  - Alcune sono più favorite di altre

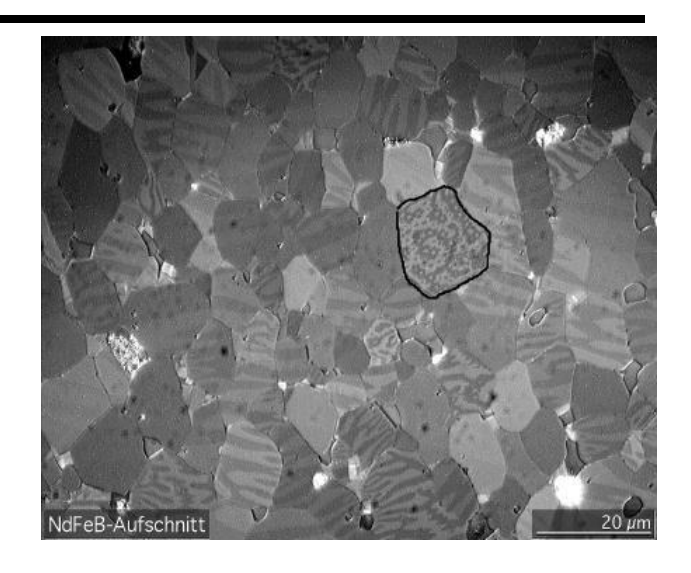


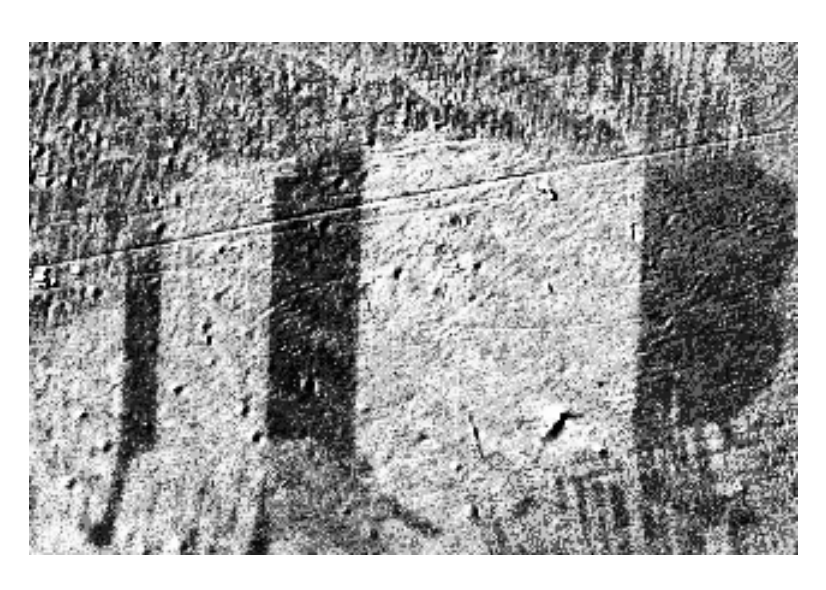
• L'allineamento dei momenti magnetici avviene in regioni macroscopiche chiamate domini



 $\bullet \quad https://commons.wikimedia.org/w/index.php?curid=2172444$ 

- È possibile vedere i domini al microscopio
  - Microscopi basati sull'effetto Kerr Magneto-Ottico
    - Riflessione della luce da superfici magnetizzate
    - Nella foto i domini magnetici sono le regioni chiare e scure
- Se è presente un campo esterno i momenti magnetici dei domini si allineano
  - Succede anche che si modificano i confini dei domini
    - L'animazione mostra l'evoluzione dei domini al crescere dell'intensità di un campo esterno entrante nello schermo
      - Le regione bianche indicano una magnetizzazione uscente
      - Le regioni scure magnetizzazione entrante
- © By Zureks, Chris Vardon Own work, CC BY-SA 3.0, https://commons.wikimedia.org/w/index.php?curid=5154811





# Esempio: toroide con nucleo

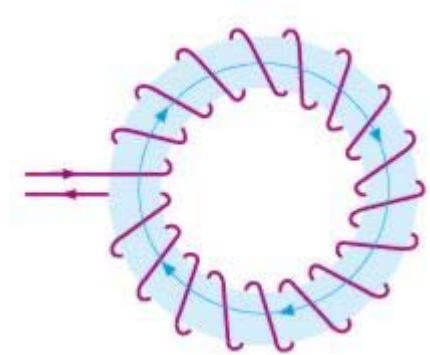
- Consideriamo un toroide avvolto intorno ad un nucleo di materiale lineare con permittività magnetica  $\mu=(1+\chi_{\rm m})\mu_0$ 
  - ullet Il numero di spire  $\dot{f e}$  N, la corrente I
  - Le linee del campo H sono delle circonferenze
  - Utilizziamo la legge di Ampère per il campo H
    - ullet Consideriamo un circonferenza C di raggio r

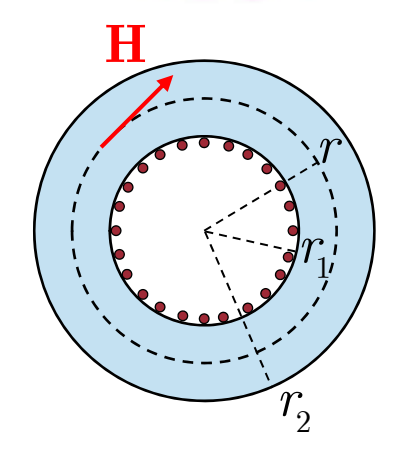
$$\oint_{C} \mathbf{H} = NI = H \, 2\pi r \qquad H(r) = \frac{NI}{2\pi r}$$

• Il campo B e la magnetizzazione M sono

$$B = \mu H$$
  $M = \frac{B}{\mu_0} - H = \frac{\mu - \mu_0}{\mu_0} H$ 

$$rac{\mu - \mu_{\mathrm{0}}}{\mu_{\mathrm{0}}} = \chi_{\mathrm{m}} \quad M = \chi_{\mathrm{m}} rac{NI}{2\pi r} \qquad K = \chi_{\mathrm{m}} rac{NI}{2\pi r}$$

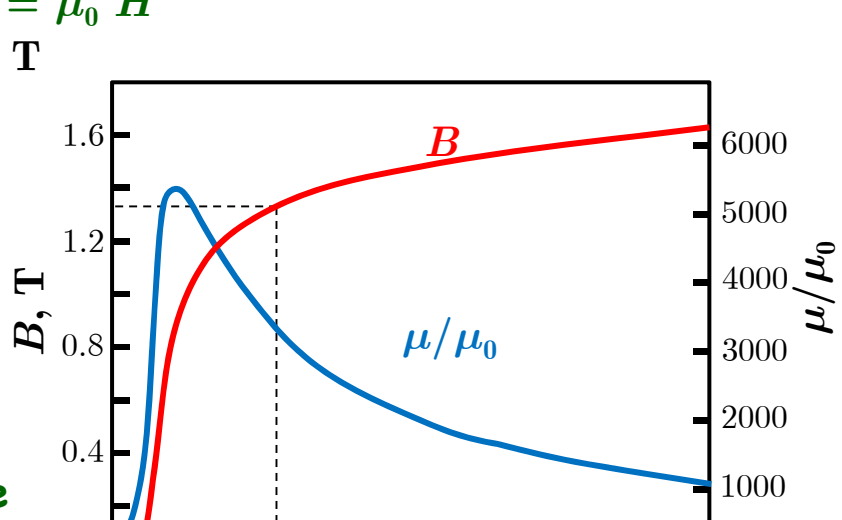




- ullet Le densità superficiale di corrente nei punti  $r=r_1$  e  $r=r_2$  è differente
  - ullet La corrente di magnetizzazione è ovviamente costante:  $i_{
    m m}=K2\pi r=\chi_{
    m m}NI$

# Curva di magnetizzazione

- Supponiamo adesso che il nucleo sia ferromagnetico
  - Studiamo sperimentalmente la curva di magnetizzazione
    - ullet Per ogni valore di I conosciamo H
    - ullet Con uno strumento adatto (sonda Hall) misuriamo B
    - ullet Possiamo anche determinare  $\mu$  definito come  $\mu=B/H$
  - Potremmo ottenere un grafico del genere
    - Osserviamo che le due scale verticali hanno unità diverse
    - ullet Se nel toroide non ci fosse il ferro  $B=\mu_0\;H$ 
      - $H \approx 300~\mathrm{A/m} \rightarrow B = \mu_0~H = 4{ imes}10^{-4}~\mathrm{T}$
      - Invece  $B pprox 1.3~\mathrm{T}$ , circa  $3000~\mathrm{volte}$  più intenso rispetto al toroide vuoto
    - Dato che  $B=\mu_0\;(H+M)$  e dato che  $\mu_0\;H$  è piccolissimo, il campo B è praticamente dovuto tutto alla magnetizzazione del ferro
      - Orientamento dei domini
    - Osserviamo che si raggiunge un regime in cui la magnetizzazione cresce più lentamente
      - Si raggiunge una saturazione



600

H, amp/m

800

0.0

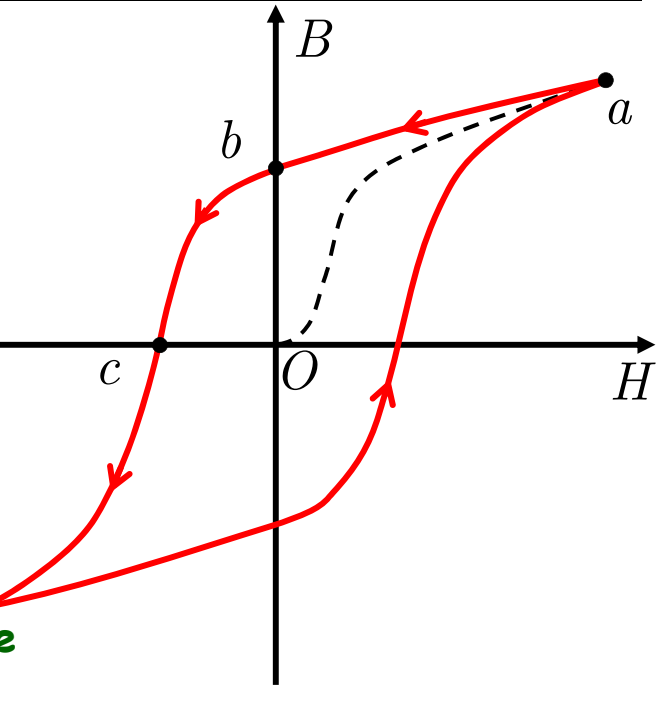
200

400

1000

#### Isteresi

- Supponiamo adesso di volere ritornare allo stato iniziale O, cioè lo stato  $H=0,\,B=0$ 
  - ullet Riduciamo quindi la corrente nell'avvolgimento fino a raggiungere il valore H=0
    - ullet Si raggiunge lo stato b e si scopre che il campo magnetico B non  $\dot{\mathbf{e}}$  tornato a zero
      - ullet Ricordiamo che  $B=\mu_0 \ (H+M)$
      - Il materiale rimane magnetizzato anche senza eccitazione esterna:  $M=B/\mu_0$
    - Per riportare a zero la magnetizzazione bisogna eccitare il toroide con una corrente di segno opposto a quella utilizzata inizialmente
      - In questo modo si può riportare a zero la magnetizzazione quando si raggiunge lo stato c in cui  $\mu_0(H+M)=0$
    - ullet Continuando a ridurre H si raggiunge un'altra regione di saturazione
    - ullet Se a questo punto si fa crescere di nuovo H si raggiunge nuovamente la regione di saturazione nello stato a ma succede che la traiettoria nel piano H-B è diversa da quella precedente
- Si ha pertanto un comportamento in cui lo stato del sistema dipende dalla sua storia precedente



# Energia magnetica in presenza di materia

ullet Come abbiamo visto nella diapositiva  ${277\over 2}$  al campo magnetico  ${
m B}$  è associata un'energia (e una densità di energia  $u_{M}$ )

$$U_{
m M} = \int_{
m V} u_{
m M} dV = rac{1}{2\mu_{
m 0}} \int_{
m V} B^2 dV$$

- Come nell'elettrostatica, in presenza di materia occorre considerare anche l'energia di magnetizzazione
  - Nel caso magnetico il problema è più complicato<sup>†</sup>
- Per materiali lineari si giunge ad una formula analoga al caso elettrostatico

$$U_{\rm M}' = \frac{1}{2} \int_{V} \mathbf{B} \cdot \mathbf{H} dV$$

- La formula precedente contiene
  - L'energia associata al campo magnetico
  - L'energia che è stata necessaria per magnetizzare la materia
- Ricordare che l'energia potenziale è l'energia magnetica cambiata di segno
  - La forza si ottiene come

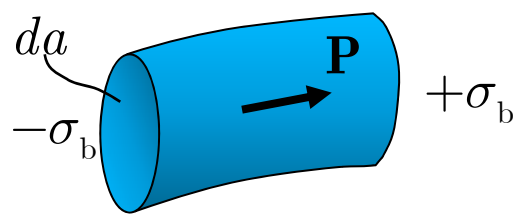
$$\mathbf{F} = + \mathbf{\nabla} U'_{\mathrm{M}}$$

• †Vedi Zangwill A. - Modern Electrodynamics - Cambridge University Press 2012 cap. 13.7

- Vogliamo riformulare le equazioni di Maxwell nel caso in cui ci sia materia
  - Naturalmente le equazioni nel vuoto sono sempre valide
  - Tuttavia diventa molto complesso tenere conto di tutte le sorgenti
    - Cariche e correnti dovute a fenomeni di polarizzazione e magnetizzazione
    - Risulta conveniente utilizzare i campi D e H
- Abbiamo già visto la legge di Gauss quando si tiene conto della polarizzazione

$$\mathbf{\nabla} \cdot \mathbf{D} = \rho_{\mathrm{f}}$$
  $\mathbf{D} = \varepsilon_{0} \mathbf{E} + \mathbf{P}$ 

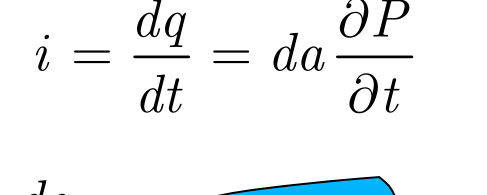
- Avevamo inoltre visto che la polarizzazione fa comparire cariche di volume e cariche superficiali  $\rho_{\scriptscriptstyle P} = {\bf \nabla} \cdot {\bf P} \qquad \sigma_{\scriptscriptstyle P} = \hat{\bf n} \cdot {\bf P}$
- ullet Quando la polarizzazione  $P(\mathbf{r},t)$  è funzione del tempo le cariche di polarizzazione fanno comparire delle correnti
  - Consideriamo un cilindretto di materia polarizzata
    - Per costruzione le basi siano perpendicolari a P
  - ullet Sulle due basi c'è una densità di carica  $\pm \sigma_{
    m p} = \pm P$
  - ullet La carica sulle due basi è  $q=\pm\sigma_{
    m P}da=\pm Pda$ 
    - Se il campo elettrico varia nel tempo varierà anche la polarizzazione
    - $\bullet$  La carica varia nel tempo  $\; \frac{dq}{dt} = \pm da \frac{\partial P}{\partial t} \;$



- Se la carica sulle basi varia vuol dire che c'è una corrente che trasporta carica da una base all'altra
  - La corrente è il flusso di una densità di corrente

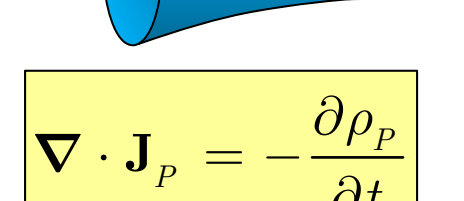
$$\mathbf{J}_{_{P}}=rac{\partial\mathbf{P}}{\partial t}$$

$$\mathbf{J}_{P} = \frac{\partial \mathbf{P}}{\partial t} \qquad i = \mathbf{J}_{P} \cdot d\mathbf{a} = \frac{\partial P}{\partial t} da$$



- ullet Il vettore  ${f J}_P$  ha le proprietà di una densità di corrente
  - In particolare soddisfa l'equazione di continuità

$$\mathbf{\nabla} \cdot \mathbf{J}_P = \mathbf{\nabla} \cdot \frac{\partial \mathbf{P}}{\partial t} = \frac{\partial \mathbf{\nabla} \cdot \mathbf{P}}{\partial t} = -\frac{\partial \rho_P}{\partial t}$$



• Pertanto in presenza di materia le cariche e le correnti totali sono

$$ho = 
ho_{
m f} + 
ho_{
ho} = 
ho_{
m f} - oldsymbol{
abla} \cdot oldsymbol{
m P} \qquad oldsymbol{
m J} = oldsymbol{
m J}_{
m C} + oldsymbol{
m J}_{
m M} + oldsymbol{
m J}_{
ho} = oldsymbol{
m J}_{
m C} + oldsymbol{
abla} imes oldsymbol{
m M} + rac{\partial oldsymbol{
m P}}{\partial t}$$

ullet Come abbiamo già visto per il campo elettrico si tiene conto di  $ho_{
m p}$ introducendo il campo  ${f D}$  nella legge di Gauss

$$\varepsilon_0 \nabla \cdot \mathbf{E} = \rho = \rho_{\rm f} + \rho_{\rm p} = \rho_{\rm f} - \nabla \cdot \mathbf{P}$$

$$\varepsilon_{\scriptscriptstyle 0} {f 
abla} \cdot {f E} + {f 
abla} \cdot {f P} = 
ho_{\scriptscriptstyle {
m f}} \qquad {f D} = arepsilon_{\scriptscriptstyle 0} {f E} + {f P}$$

$$\mathbf{\nabla} \cdot \mathbf{D} = \rho_{\scriptscriptstyle \mathrm{f}}$$

• Si può procedere analogamente per la legge di Ampère

$$\nabla \times \mathbf{B} = \mu_0 \mathbf{J} + \mu_0 \varepsilon_0 \frac{\partial \mathbf{E}}{\partial t} = \mu_0 \left( \mathbf{J}_{\mathrm{C}} + \nabla \times \mathbf{M} + \frac{\partial \mathbf{P}}{\partial t} \right) + \mu_0 \varepsilon_0 \frac{\partial \mathbf{E}}{\partial t}$$

$$\nabla \times \frac{\mathbf{B}}{\mu_0} - \nabla \times \mathbf{M} = \mathbf{J}_{\mathrm{C}} + \frac{\partial \mathbf{P}}{\partial t} + \varepsilon_0 \frac{\partial \mathbf{E}}{\partial t}$$

$$\nabla \times \left( \frac{\mathbf{B}}{\mu_0} - \mathbf{M} \right) = \mathbf{J}_{\mathrm{C}} + \frac{\partial}{\partial t} \left( \mathbf{P} + \varepsilon_0 \mathbf{E} \right)$$

$$\mathbf{H} = \frac{\mathbf{B}}{\mu_0} - \mathbf{M}$$

$$\partial \mathbf{D}$$

$$\mathbf{D} = \varepsilon_0 \mathbf{E} + \mathbf{P}$$

$$\mathbf{
abla} imes\mathbf{H}=\mathbf{J}_{\mathrm{C}}+rac{\partial\mathbf{D}}{\partial t}$$

• Non richiedono modifiche le equazioni omogenee

$$\mathbf{\nabla} \cdot \mathbf{B} = 0 \qquad \qquad \mathbf{\nabla} \times \mathbf{E} = -\frac{\partial \mathbf{B}}{\partial t}$$

ullet Infatti in queste equazioni non appaiono le sorgenti ho e J

Riassumiamo le equazioni di Maxwell nella materia

$$\nabla \cdot \mathbf{D} = \rho_{\scriptscriptstyle f}$$

$$\nabla \cdot \mathbf{B} = 0$$

$$\mathbf{\nabla} \times \mathbf{E} = -\frac{\partial \mathbf{B}}{\partial t}$$

$$\mathbf{\nabla} \times \mathbf{H} = \mathbf{J}_{\scriptscriptstyle \mathrm{C}} + \frac{\partial \mathbf{D}}{\partial t}$$

- Queste equazioni devono essere complementate
  - ullet Dalle relazioni fenomenologiche che definiscono i campi  ${f D}$  e  ${f H}$ 
    - Ad esempio per i mezzi lineari omogenei

$$\mathbf{D} = \varepsilon \mathbf{E}$$

$$\mathbf{H} = \frac{1}{\mu} \mathbf{B}$$

• Dalle condizioni al contorno nel passaggio da un materiale all'altro

#### mezzo lineare

$$\sigma_{
m f}=0 \qquad {
m K}_{
m f}=0$$

$$D_{\!\scriptscriptstyle 1\perp}-D_{\!\scriptscriptstyle 2\perp}=\sigma_{\scriptscriptstyle \rm f}$$

$$D_{\!\scriptscriptstyle 1\perp} - D_{\!\scriptscriptstyle 2\perp} = \sigma_{\scriptscriptstyle \mathrm{f}} \qquad \qquad \varepsilon_{\scriptscriptstyle 1} E_{\scriptscriptstyle 1\perp} - \varepsilon_{\scriptscriptstyle 2} E_{\scriptscriptstyle 2\perp} = \sigma_{\scriptscriptstyle \mathrm{f}}$$

$$\varepsilon_{1}E_{1\perp}=\varepsilon_{2}E_{2\perp}$$

$$\mathbf{E}_{1\parallel}=\mathbf{E}_{2\parallel}$$

$$\mathbf{E}_{1\parallel}=\mathbf{E}_{2\parallel}$$

$$\mathbf{E}_{\scriptscriptstyle{1\parallel}}=\mathbf{E}_{\scriptscriptstyle{2\parallel}}$$

$$\mathbf{H}_{1\parallel} - \mathbf{H}_{2\parallel} = \mathbf{K}_{\mathrm{f}} imes \hat{\mathbf{n}}$$

$$\mathbf{H}_{1\parallel} - \mathbf{H}_{2\parallel} = \mathbf{K}_{\mathrm{f}} imes \hat{\mathbf{n}} \qquad rac{1}{\mu_{\mathrm{l}}} \mathbf{B}_{\mathrm{l}\parallel} - rac{1}{\mu_{\mathrm{2}}} \mathbf{B}_{\mathrm{2}\parallel} = \mathbf{K}_{\mathrm{f}} imes \hat{\mathbf{n}} \qquad rac{1}{\mu_{\mathrm{l}}} \mathbf{B}_{\mathrm{l}\parallel} = rac{1}{\mu_{\mathrm{2}}} \mathbf{B}_{\mathrm{2}\parallel}$$

$$rac{1}{\mu_1} \mathbf{B}_{1\parallel} = rac{1}{\mu_2} \mathbf{B}_{2\parallel}$$

$$B_{1\perp} = B_{2\perp}$$

$$B_{1\perp} = B_{2\perp}$$

$$B_{1\perp} = B_{2\perp}$$

# Corrente superficiale

- Una densità di corrente superficiale infinita genera un campo magnetico parallelo al piano della corrente e perpendicolare alla direzione della stessa (vedi 124)
  - ullet La legge di Biot e Savart implica che  ${f B}$  non possa essere parallelo a  ${f K}$  e quindi  $B_y=0$



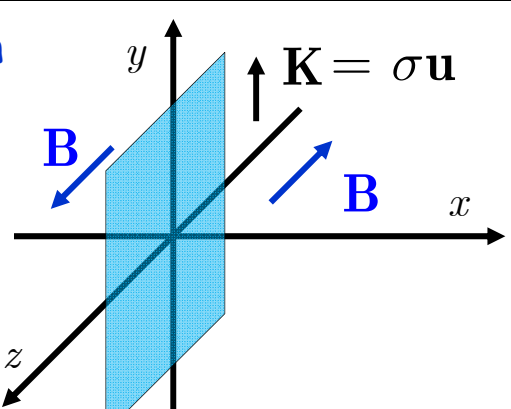
- ullet Infatti se  ${f u} 
  ightarrow {f u}$  deve anche essere  ${f B} 
  ightarrow {f B}$
- Ma la trasformazione della velocità può essere ottenuta da una rotazione di  $\pi$  intorno all'asse x
  - ullet Non cambia il segno di  $B_x$  e quindi  $B_x=0$
- ullet Pertanto il campo magnetico  $\dot{f e}$  diretto lungo l'asse z
- Sempre utilizzando la legge di Biot e Savart ci si può convincere che

$$\mathbf{B} = -B\hat{\mathbf{e}}_z \qquad x > 0 \quad \mathbf{B} = +B\hat{\mathbf{e}}_z \qquad x < 0 \qquad \mathbf{B}$$

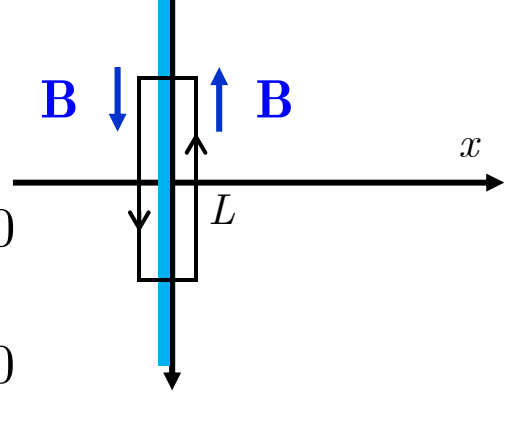


$$2BL = \mu_0 KL$$

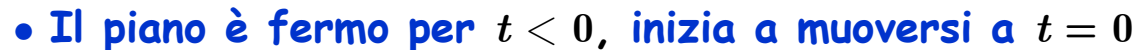
• Utilizziamo la legge di Ampère 
$$2BL = \mu_0 KL \qquad \mathbf{B} = \begin{cases} -\frac{\mu_0 K}{2} \, \hat{\mathbf{e}}_z & x>0 \\ +\frac{\mu_0 K}{2} \, \hat{\mathbf{e}}_z & x<0 \end{cases}$$



$$d\mathbf{B} = \frac{\mu_0}{4\pi} i \frac{d\mathbf{l} \times \hat{\mathbf{r}}}{r^2}$$



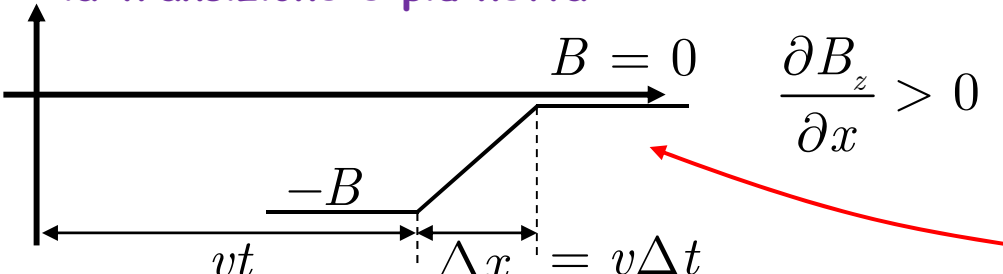
- Consideriamo ancora l'esempio precedente
  - Ignoriamo il campo elettrico generato dal piano di carica
    - ullet Possiamo sempre immaginare che ci sia un altro piano di densità  $-\sigma$  che si muove con velocità  $-\mathbf{u}$

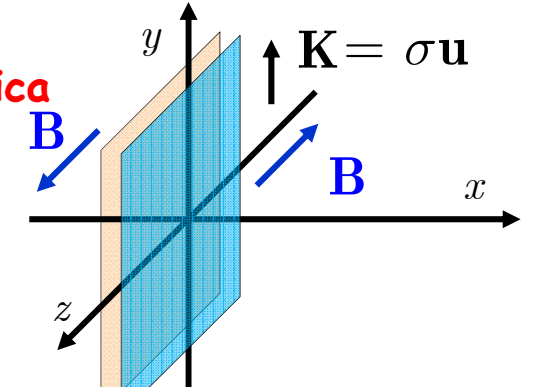


- ullet Per t < 0 il campo magnetico è nullo
- ullet Per t>0 il campo diventa  $B=\mu_0 K/2$ 
  - ullet Tuttavia per distanze x>vt il campo deve essere nullo
    - ullet Chiamiamo v la velocità di propagazione del campo magnetico

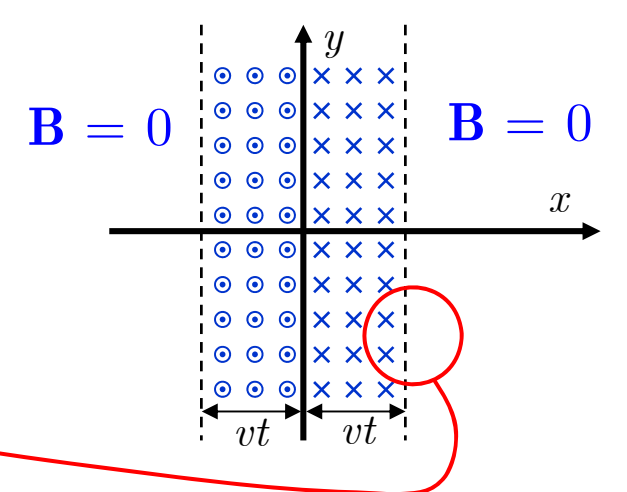


- La regione di transizione fra  $B \neq 0$  e B = 0 è determinata dal modo in cui il piano di carica passa dallo stato di quiete al moto
  - Se l'accelerazione è molto rapida la transizione è più netta





- × entrante
- uscente



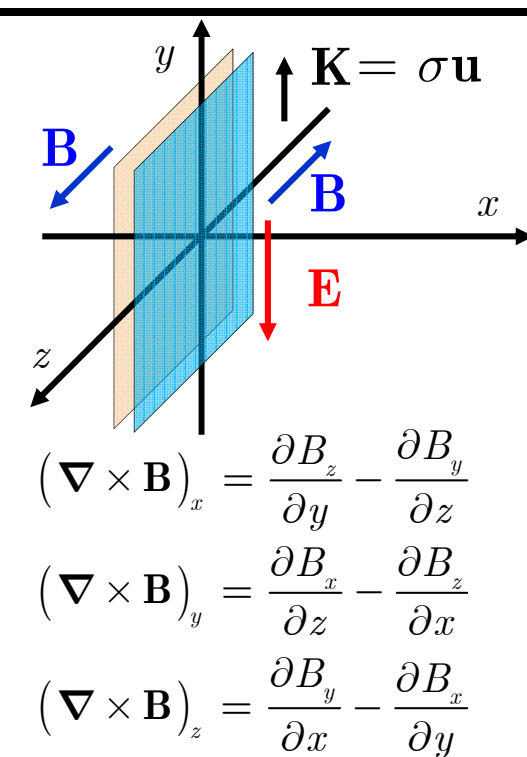
- Nella regione di transizione c'è una variazione del campo magnetico nello spazio e nel tempo
  - Studiamo la transizione con l'equazione di Maxwell

$$\nabla \times \mathbf{B} = \varepsilon_0 \mu_0 \frac{\partial \mathbf{E}}{\partial t}$$
  $\mathbf{J} \neq \mathbf{0} \text{ solo per } z = 0$ 

- Il rotore ha una sola componente non nulla
  - Le componenti  $B_x$  e  $B_y$  sono nulle

$$\left(\mathbf{\nabla} \times \mathbf{B}\right)_{y} = -\frac{\partial B_{z}}{\partial x} \qquad \varepsilon_{0} \mu_{0} \frac{\partial E_{y}}{\partial t} = -\frac{\partial B_{z}}{\partial x}$$

 Pertanto nella regione di transizione compare un campo elettrico



$$E_{y} = \int_{0}^{\Delta t} \frac{\partial E_{y}}{\partial t} dt = -\frac{1}{\varepsilon_{0}\mu_{0}} \int_{0}^{\Delta t} \frac{\partial B_{z}}{\partial x} dt = -\frac{1}{\varepsilon_{0}\mu_{0}} \int_{0}^{\Delta x} \frac{\partial B_{z}}{\partial x} dx = -\frac{1}{\varepsilon_{0}\mu_{0}v} \int_{0}^{\Delta x} \frac{\partial B_{z}}{\partial x} dx = -\frac{1}{\varepsilon_{0}\mu_{0}v} \int_{0}^{\Delta x} dB dB_{z}$$

$$E_{y} = -\frac{1}{\varepsilon_{0}\mu_{0}v} \Delta B \qquad E_{y} = -\frac{1}{\varepsilon_{0}\mu_{0}v} B_{z}$$

• Possiamo utilizzare anche l'altra equazione di Maxwell

$$\mathbf{\nabla} \times \mathbf{E} = -\frac{\partial \mathbf{B}}{\partial t}$$

ullet Dato che solo la componente z di  ${
m B}$  è diversa da zero ightarrow solo  $({f 
abla}{ imes}{
m E})_z 
eq 0$ 

$$\left(\boldsymbol{\nabla} \times \mathbf{E}\right)_{z} = \frac{\partial E_{y}}{\partial x} - \frac{\partial E_{x}}{\partial y} = \frac{\partial E_{y}}{\partial x} = -\frac{\partial B_{z}}{\partial t} \qquad \qquad \frac{\partial E_{y}}{\partial x} = -\frac{\partial B_{z}}{\partial t}$$

- ullet La componente  $E_x$  potrebbe essere costante. La assumiamo nulla
  - Tutto il nostro ragionamento è definito a meno di campi costanti
- Possiamo calcolare il campo magnetico

$$B_z = \int_0^{\Delta t} \frac{\partial B_z}{\partial t} dt = -\int_0^{\Delta t} \frac{\partial E_y}{\partial x} dt = -\int_0^{\Delta x} \frac{\partial E_y}{\partial x} \frac{dx}{v} = -\frac{1}{v} \int_0^{\Delta E} dE_y = -\frac{1}{v} E_y$$

- La variazione del campo elettrico genera a sua volta un campo magnetico
- Le due relazioni trovate devono essere compatibili

$$B_z = -\frac{1}{v}E_y \qquad E_y = -\frac{1}{\varepsilon_0\mu_0 v}B_z \qquad \longrightarrow \qquad v = \frac{1}{\varepsilon_0\mu_0 v} \qquad \boxed{v^2 = \frac{1}{\varepsilon_0\mu_0 v}}$$

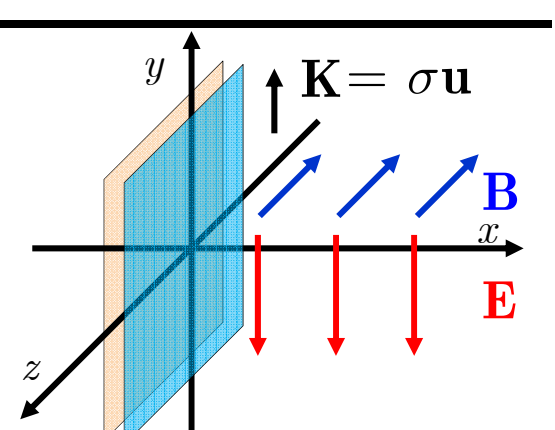
ullet La velocità di propagazione è determinata dalle costanti  $arepsilon_0$  e  $\mu_0$ 

- Riassumiamo quanto abbiamo capito
  - Il passaggio dallo stato di quiete allo stato di moto del piano di carica genera un'onda elettromagnetica
    - L'onda viaggia con velocità

$$v = \frac{1}{\sqrt{\varepsilon_0 \mu_0}}$$

 $v=rac{1}{\sqrt{arepsilon_0 \mu_0}}$  v risulta essere la velocità della luce  $c=rac{1}{\sqrt{arepsilon_0 \mu_0}}$  z

$$c = \frac{1}{\sqrt{\varepsilon_0 \mu_0}}$$



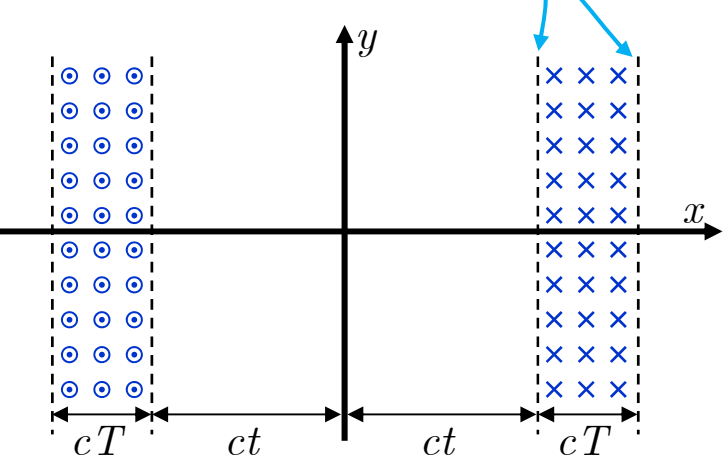
- Nelle immediate vicinanze della corrente superficiale il campo magnetico è generato dalla corrente superficiale
- Allontanandosi dalla sorgente i campi sono generati dalle loro variazioni spazio-temporali

$$\mathbf{\nabla} \times \mathbf{E} = -\frac{\partial \mathbf{B}}{\partial t}$$
  $\mathbf{\nabla} \times \mathbf{B} = \mu_0 \varepsilon_0 \frac{\partial \mathbf{E}}{\partial t}$ 

- ullet Le variazioni del campo B generano localmente il campo E (Faraday)
- ullet Le variazioni del campo  ${f E}$  generano localmente il campo  ${f B}$  (Maxwell)
- I campi sono perpendicolari fra di loro
  - Perpendicolarità imposta dalle equazioni di Maxwell (introdotta dal rotore)
- I campi sono perpendicolari alla direzione di propagazione
  - ullet Vedremo che dipende dalle equazioni  $abla \cdot {
    m E} = 0$  e  $abla \cdot {
    m B} = 0$

- ullet Supponiamo che dopo un tempo T lo strato di carica venga arrestato
  - L'andamento della corrente nel tempo è stato come in figura
    - La corrente non genera più il campo magnetico
    - Si forma una zona senza campo
  - ullet Il campo generato nell'intervallo  $0 \le t \le T$  continua a viaggiare nelle due direzioni
- Complessivamente il fenomeno è stato
  - La corrente ha generato un'onda elettromagnetica
    - Radiazione
  - Il campo si è disaccoppiato dalla sorgente
    - I campi E e B si sostengono a vicenda
    - Propagazione
- Nelle regioni in cui i campi sono diversi da zero è immagazzinata energia

$$U_{\scriptscriptstyle E} = rac{arepsilon_0}{2} \int E^2 dV ~~ U_{\scriptscriptstyle M} = rac{1}{2\mu_0} \int B^2 dV$$



K

- Questa energia proviene dal lavoro fatto per generare l'onda
  - Nello "spingere" la carica si deve vincere una "resistenza" di radiazione